

小断面シールド工法におけるレジンモルタルライニングの 超音波利用による非破壊強度測定の実験的考察(その2)

日本電信電話公社 流城電気通信研究所 正員。大木一夫
木村幸男

1. まえがき

電電公社の小断面シールド(M-2)工法では、早強性材料による自動ライニング方式を現在検討中であり、本方式は、未硬化状態で搬入されたレジンモルタルと硬化剤をトンネル内のライニング型枠へ連続混合打設し、その硬化を確認して後、推進ジャッキにより脱型を行い、順次トンネルを築造するものである。

以上の点から、本方式において工事の円滑な進行と良質な品質管理を行うためには、ライニング型枠に打設されたレジンモルタルの早期強度と型枠外側から非破壊で推定することが一つの重要な課題となつており、そのための測定法として超音波を利用した非破壊強度測定法の検討を行つた結果、レジンモルタル強度と超音波音速との相関がほぼ明らかとなった。

2. 材料および実験方法

レジンモルタルの素材と標準配合を表1に示す。

実験は以下の項目について行った。

(1) 曲げ強度と音速との関係

i) レジンモルタルは硬化時にラジカル重合反応による発熱を伴い、その発熱温度は形状・大きさ・冷却効果等により異なるため、発熱温度により強度と音速の相関が変わることの可能性があることから、標準配合のものに塑型剤(ステアリン酸)を混入し、同一強度でも発熱温度の異なる4種類の供試体を作成し、硬化養生時の音速と曲げ強度を測定した。

ii) レジンモルタルの組成上、Rと(G+F)の配合および骨材の種類、強度と音速の相関に大きな影響を及ぼすと考えられるため、骨材種類と配合比をそれぞれ変えて硬化養生時の音速と曲げ強度を測定した。

iii) トンネル現場で未硬化状態のレジンモルタルと硬化剤を混合打設

することから硬化状態が安定に保たれない危険性がある。その影響を調べるために硬化前の配合を変えて3種類の供試体について硬化養生時の音速と曲げ強度を測定した。また骨材の含水比を変えて同様の測定を行った。以上の測定には、発熱温度測定($10 \times 10 \times 40$ cm供試体)を除き $4 \times 4 \times 16$ cmの供試体を使用した。音速は市販のコンクリート試験機を使用して図1の方法で測定した伝播時間から算出し、送受信子の大きさと供試体の大きさの整合のためにテープ治具を使用した。また、曲げ強度の測定はコンクリートの曲げ強度試験法に従い、供試体の発熱温度は熱電対を供試体の中央に埋めこにより測定した。

(2) 圧縮強度と音速との関係

脱型時に必要とされる圧縮強度と音速との関係を供試体により測定した。供試体の強度が幅を持たせるため標準配合にステアリン酸を混入して $10 \times 10 \times 40$ cm供試体からキャップピンのため抜き取った 50×10 cmの円柱供試体を使用した。測定法は曲げ強度と音速との場合と同様にして。

分類	素材	標準配合
結合材(R)	不飽和ポリエステル樹脂	R:(G+F)
骨材(G)	砂	=1:4
硬化剤(F)	炭酸カルシウム	G: F: 3
強化剤	ステアリン酸(MA)	3 phr
促進剤	カツチ酸ミルト(DG)	2 phr
緩衝剤	N,N-ジカブリニン(DMA)	0.3 phr
重合停止剤	パラベンゼン(PBA)	0.05 phr

表1 ライニング材料

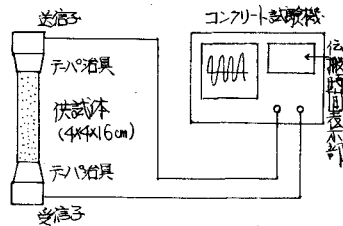


図1 超音波伝播時間測定法

3. 実験結果および考察

(1) 曲げ強度と音速との関係

i) 発熱温度による影響

実験結果を図2に示す。これより、発熱温度が異なっていても強度と音速の間にほぼ一定の相関があることがわかつ。実用時にあつて今後故障等による発熱温度差が生じても測定と差視できることが判明した。

ii) 骨材の種類およびR:(G+F)配合比の影響

実験結果を図3に得られし実験式・相関係数・標準差を表2に示す。こより、骨材では川砂・配合比が樹脂量・少く、貧配合のほうが良い相関が得られることがわかる。また、川砂(1:4)と人工軽量骨材(1:2.5)および川砂(1:2.5)と人工軽量骨材(1:1.4)との相関が似ているのは、単位体積当りの樹脂量がそれぞれ0.42と0.44 g/cm³、0.54と0.59 g/cm³とはほぼ等しいことによると考へらる。

iii) 硬化剤量および骨材含水比の影響

実験結果を図4に示す。こより、硬化剤量と骨材の含水比が変わることで強度と音速の相関にはほとんど影響がない。次の二次式に集約できることが判明した。

$$F = 1.648 V^2 - 57.335 V + 526$$

F: 曲げ強度 (kg/cm²) V: 音速 (x10³m/sec)

(2) 壓縮強度と音速との関係

実験結果を図5に示す。測定値にかなりのバラツキがあるが曲げ強度の場合と同様計算機により二次式近似を行うと

$$F = 94.2 V^2 - 475.8 V + 605.75$$

F: 壓縮強度 (kg/cm²) V: 音速 (x10³m/sec)

となる。しかし、前項の曲げ強度が得られる場合圧縮強度は十分予測値を満足することが実験により確認されていることと本実験による強度・精度を考慮すると、実用時の強度推定には曲げ強度を採用するのが適正との結論を得た。

4. あとがき

供試体を换了し、実験により、骨材種類および樹脂と(骨材+微粒充填材)の配合が変わった場合には強度と音速との相関が変化するが、発熱温度・硬化剤量・骨材含水比等によつて強度と音速の相関はほとんど影響を受けないことが判明した。こより、超音波を利用し非破壊強度測定法はライニンク材の配合品質管理の適正に行われた場合には十分実用可能な方法であるとの見通しを得た。今後は、実装を中心とした検討を進める予定である。

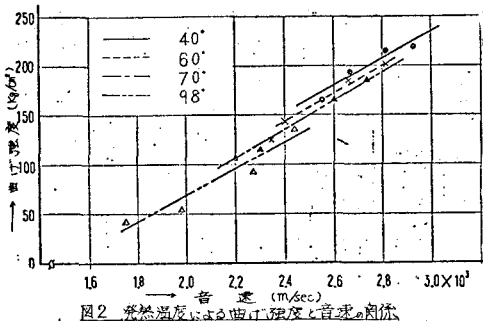


図2 発熱温度による曲げ強度と音速の関係

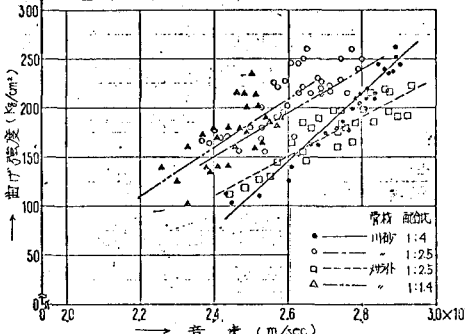


図3 骨材および配合比による曲げ強度・音速の関係

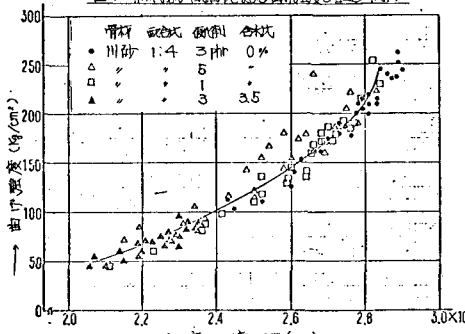


図4 硬化剤量・骨材含水比による圧縮強度・音速の関係

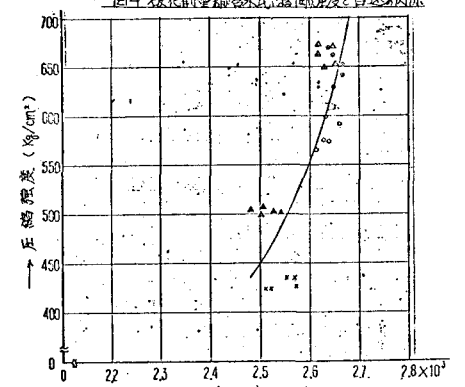


図5 圧縮強度と音速の関係

供試体	実験式	相関係数 r (20)
川砂 (1:4)	F = 0.343V - 74.8	0.94
川砂 (1:2.5)	F = 0.229V - 39.9	0.75
人工軽量骨材 (1:2.5)	F = 0.198V - 36.1	0.88
人工軽量骨材 (1:1.4)	F = 0.252V - 44.5	0.66

表2 曲げ強度(F:kg/cm²)と音速(V:m/sec)の相関